

Кінематика.

Середня та миттєва швидкості:

$$\langle \vec{v} \rangle = \frac{\Delta \vec{r}}{\Delta t}; \quad \vec{v} = \frac{d\vec{r}}{dt}.$$

Середнє та миттєве прискорення:

$$\langle \vec{a} \rangle = \frac{\Delta \vec{v}}{\Delta t}; \quad \vec{a} = \frac{d\vec{v}}{dt}.$$

Миттєва швидкість і радіус-вектор точки при довільному русі:

$$\vec{v}(t) = \vec{v}_0 + \int_0^t \vec{a}(t) dt; \quad \vec{r} = \vec{r}_0 + \int_0^t \vec{v} dt.$$

Переміщення точки за проміжок часу $[t_1, t_2]$ та пройдений нею шлях:

$$\Delta \vec{r} = \int_{t_1}^{t_2} \vec{v}(t) dt; \quad s = \int_{t_1}^{t_2} v(t) dt.$$

Нормальне, тангенціальне та повне прискорення:

$$\vec{a}_n = \frac{v^2}{R} \vec{n}; \quad \vec{a}_\tau = \frac{dv}{dt} \vec{\tau}; \quad \vec{a} = \vec{a}_n + \vec{a}_\tau,$$

R – радіус кривизни траєкторії.

Кутові швидкість та прискорення:

$$\vec{\omega} = \frac{d\vec{\varphi}}{dt}; \quad \vec{\beta} = \frac{d\vec{\omega}}{dt}.$$

Зв'язок між лінійними та кутовими кінематичними величинами при обертанні навколо фіксованої осі:

$$s = \varphi R; \quad v = \omega R;$$
$$a_\tau = \beta R; \quad a_n = \omega^2 R; \quad a = \sqrt{a_n^2 + a_\tau^2} = R \sqrt{\beta^2 + \omega^4}$$

R – відстань від осі обертання.

Динаміка матеріальної точки.

Основне рівняння динаміки:

$$\frac{d\vec{p}}{dt} = \vec{F}.$$

2 закон Ньютона (основне рівняння динаміки для тіла незмінної маси):

$$m \frac{d^2 \vec{r}}{dt^2} = \vec{F}.$$

Рівняння руху матеріальної точки в неінерціальній системі відліку:

$$m \vec{a} = \vec{F} + \vec{F}_{in} + \vec{F}_{відц} + \vec{F}_{кор}.$$

Сили інерції:

$$\vec{F}_{in} = -m \vec{a}_0; \quad \vec{F}_{відц} = m \omega^2 \vec{r}; \quad \vec{F}_{кор} = 2m \vec{v} \vec{\omega}.$$

Положення та рівняння руху центра мас системи:

$$\vec{r}_c = \frac{\sum_i m_i \vec{r}_i}{\sum_i m_i}; \quad m \vec{a}_c = \vec{F}_{\text{вн}}$$

Зміна імпульсу системи:

$$\frac{d\vec{p}}{dt} = \vec{F}_{\text{зовн}}; \quad \Delta \vec{p} = \int_{t_1}^{t_2} \vec{F}_{\text{зовн}} dt.$$

Робота та потужність сили:

$$A = \int \vec{F} d\vec{r}; \quad P = \frac{\delta A}{dt} = \vec{F} \vec{v}.$$

Зміна повної механічної енергії системи:

$$\Delta E = \Delta K + \Delta U = A_{\text{дис}} + A_{\text{зовн}}$$

Зв'язок між консервативною силою та потенціальною енергією:

$$\vec{F} = -\text{grad}U; \quad \Delta U = U_2 - U_1 = -\int_1^2 \vec{F} d\vec{r}$$

Динаміка твердого тіла.

Рівняння моментів відносно осі:

$$\frac{dL_z}{dt} = M_z.$$

Рівняння динаміки твердого тіла, що обертається навколо нерухомої осі:

$$I\beta_z = M_z$$

Момент інерції протяжного тіла:

$$I = \int r^2 dm = \int_V r^2 \rho dV.$$

Теорема Гюйгенса – Штайнера:

$$I = I_c + ma^2$$

Моменти інерції I_c деяких однорідних тіл:

Тіло	Вісь	Момент інерції I_0
Тонкий стрижень довжини l	Перпендикулярна до стрижня	$ml^2/12$
Суцільний циліндр (диск) радіуса R	Співпадає з віссю циліндра (диска)	$mR^2/2$
Суцільна куля радіуса R	Проходить через центр кулі	$2mR^2/5$

СТВ

Перетворення Лоренца:

$$x' = \frac{x - Vt}{\sqrt{1 - (V/c)^2}}; \quad y' = y; \quad z' = z; \quad t' = \frac{t - Vx/c^2}{\sqrt{1 - (V/c)^2}}.$$

Скорочення довжин й уповільнення часу:

$$l = l_0 \sqrt{1 - (v/c)^2}; \quad \Delta t = \frac{\Delta t_0}{\sqrt{1 - (v/c)^2}}.$$

Релятивістський закон перетворення швидкостей:

$$v'_x = \frac{v_x - V}{1 - Vv_x/c^2}; \quad v'_y = \frac{v_y \sqrt{1 - (V/c)^2}}{1 - Vv_x/c^2}.$$

Імпульс релятивістської частинки з масою спокою m_0 :

$$\vec{p} = \frac{m_0 \vec{v}}{\sqrt{1 - v/c^2}} = m\vec{v}, \quad m = \frac{m_0}{\sqrt{1 - v/c^2}}.$$

Рівняння динаміки релятивістської частинки:

Рівняння динаміки релятивістської частинки:

$$\frac{d\vec{p}}{dt} = \vec{F}$$

Повна енергія та енергія спокою релятивістської частинки:

$$E = mc^2 = \frac{m_0 c^2}{\sqrt{1 - v/c^2}}; \quad E_0 = m_0 c^2.$$

Кінетична енергія релятивістської частинки:

$$K = E - E_0 = m_0 c^2 \left(\frac{1}{\sqrt{1 - v/c^2}} - 1 \right).$$

Зв'язок між енергією та імпульсом релятивістської частинки:

$$E^2 - p^2 c^2 = E_0^2; \quad p^2 c^2 = K(K + 2E_0).$$

Механічні коливання.

Зв'язок між параметрами гармонічних коливань:

$$\omega = 2\pi\nu = \frac{2\pi}{T}.$$

Частота коливань матеріальної точки маси m під дією сили $F = -kx$:

$$\omega = \sqrt{\frac{k}{m}}.$$

Період гармонічних коливань і власна частота фізичного маятника:

$$T = 2\pi \sqrt{\frac{I}{mgl}}; \quad \omega_0 = \sqrt{\frac{mgl}{I}}.$$

Зведена довжина фізичного маятника:

$$l_{\text{зведена}} = \frac{I}{ml}.$$

Частота вільних загасаючих коливань за наявності гальмівної сили $F = -rv$:

$$\omega = \sqrt{\omega_0^2 - \beta^2}, \quad \beta = \frac{r}{2m} - \text{коефіцієнт загасання.}$$

Амплітуда загасаючих коливань:

$$A(t) = A_0 e^{-\beta t}.$$

Характеристики загасання:

час релаксації $\tau = \frac{1}{\beta};$

логарифмічний декремент загасання $\lambda = \ln \frac{A(t)}{A(t+T)} = \beta T;$

добротність коливальної системи $Q = \frac{\pi}{\lambda}.$

Енергія загасаючих коливань при слабкому загасанні ($\beta \ll \omega_0$):

$$W = W_0 e^{-2\beta t}.$$

Відносна втрата енергії коливань за один період при слабкому загасанні:

$$\frac{\delta W}{W} = \frac{2\pi}{Q}.$$

Електродинаміка.

1. напруженість електричного поля точкового заряду $\vec{E} = k_0 \frac{q}{r^2} \vec{e}_r$
2. потенціал точкового заряду $\varphi = k_0 \frac{q}{r}$
3. принцип суперпозиції для електричного поля $\vec{E} = \sum \vec{E}_i; \varphi = \sum \varphi_i$
4. напруженість електричного поля зарядженої сфери
 $\vec{E} = k_0 \frac{q}{r^2} \vec{e}_r, r > R; \vec{E} = 0, (r < R);$
5. напруженість електричного поля зарядженої кулі ($\rho = \text{const}$)
 $\vec{E} = k_0 \frac{q}{r^2} \vec{e}_r, r > R; \vec{E} = \frac{\rho \vec{r}}{3\epsilon\epsilon_0} \vec{e}_r, (r < R);$
6. напруженість електричного поля нескінченної рівномірно зарядженої площини $\vec{E} = \frac{\sigma}{2\epsilon\epsilon_0} \vec{n}$
7. напруженість електричного поля нескінченної рівномірно зарядженої нитки $\vec{E} = \frac{\lambda}{2\pi\epsilon\epsilon_0 r} \vec{e}_r$
8. потенціальна енергія заряду $W = q\varphi$
9. густина заряду $\rho = \frac{dq}{dV}; \sigma = \frac{dq}{dS}; \lambda = \frac{dq}{dl};$
10. визначення сили електричного струму $I = \frac{dq}{dt}$
11. густина струму $\vec{j} = \frac{dI}{dS_{\perp}} \vec{e}_v; I = \iint_s \vec{j} d\vec{S}$
12. заряд провідника $q = C\varphi$
13. заряд конденсатора $q = CU$
14. енергія конденсатора $W = \frac{CU^2}{2}$
15. потенціальна енергія взаємодії системи N зарядів $W = \frac{1}{2} \sum_{i=1}^N q_i \varphi_i$
16. ємність при паралельному з'єднанні конденсаторів $C = \sum C_i$
17. ємність при послідовному з'єднанні конденсаторів $\frac{1}{C} = \sum \frac{1}{C_i}$
18. ємність плоского конденсатора ($\epsilon = \text{const}$) $C = \frac{\epsilon\epsilon_0 S}{d}$
19. ємність сферичного конденсатора ($\epsilon = \text{const}$) $C = 4\pi\epsilon\epsilon_0 \frac{ab}{b-a}$
20. ємність циліндричного конденсатора ($\epsilon = \text{const}$) $C = \frac{2\pi\epsilon\epsilon_0 l}{\ln(b/a)}$
21. зв'язок між напруженістю і потенціалом електростатичного поля
 $\vec{E} = -\text{grad}\varphi; \varphi(\vec{r}_2) - \varphi(\vec{r}_1) = -\int_{\vec{r}_1}^{\vec{r}_2} \vec{E} d\vec{l}$

22. сила Лоренца $\vec{F} = q\vec{E} + q \cdot \vec{v} \times \vec{B}$

23. сила Ампера, що діє на

- лінійний струм $\vec{F} = \int_{\ell} \vec{I} \cdot d\vec{\ell} \times \vec{B}$
- об'ємний струм $\vec{F} = \int_V \vec{j} \times \vec{B} \cdot dV$

24. принцип суперпозиції для магнітного поля $\vec{B} = \sum \vec{B}_i$;

25. магнітне поле точкового заряду ($V \ll c$) $\vec{B} = \frac{\mu_0 q}{4\pi} \cdot \frac{\vec{V} \times \vec{r}}{r^3}$

26. закон Біо – Савара – Лапласа для

- лінійних струмів $\vec{B} = \int_{\ell} \frac{\mu_0 I}{4\pi} \cdot \frac{d\vec{\ell} \times \vec{r}}{r^3}$
- об'ємних струмів $\vec{B} = \int_V \frac{\mu_0}{4\pi} \cdot \frac{\vec{j} \times \vec{r}}{r^3} \cdot dV$

27. магнітне поле в центрі колового струму $B = \frac{\mu_0 I}{2R}$

28. магнітне поле прямого провідника $B = \frac{\mu_0 I}{4\pi r} (\cos\alpha - \cos\beta)$

29. магнітне поле прямого соленоїда $B = \mu\mu_0 nI$;

30. магнітне поле тороїдального соленоїда $B = \frac{\mu\mu_0 NI}{2\pi r}$

31. рівняння неперервності струмів $\text{div}\vec{j} + \frac{\partial\rho}{\partial t} = 0$

32. струм зміщення $\vec{j}_{зм} = \frac{\partial\vec{D}}{\partial t}$

Рівняння Максвелла:

33. електростатична теорема Гауса

- $\oint_s \vec{D} d\vec{S} = \int_V \rho dV$
- $\text{div}\vec{D} = \rho$

34. теорема про циркуляцію магнітного поля або закон повного струму

- $\oint_{\ell} \vec{H} d\vec{\ell} = I_{\text{полн}}; I_{\text{полн}} = \sum I_i = \int_s (\vec{j} + \vec{j}_{зм}) d\vec{S}$
- $\text{rot}\vec{H} = \vec{j}$

35. умова соленоїдальності магнітного поля

- $\oint_s \vec{B} d\vec{S} = 0$
- $\text{div}\vec{B} = 0$

36. закон електромагнітної індукції Фарадея

- $\oint_{\ell} \vec{E} d\vec{\ell} = - \int_s \frac{\partial\vec{B}}{\partial t} d\vec{S}$
- $\text{rot}\vec{E} = - \frac{\partial\vec{B}}{\partial t}$

37. матеріальні рівняння

- $\vec{D} = \varepsilon \varepsilon_0 \vec{E}$

- $\vec{B} = \mu \mu_0 \vec{H}$

38. електричний дипольний момент

$$\vec{p} = q \vec{\ell}$$

39. магнітний дипольний момент

$$\vec{p}_m = I \vec{S}$$

40. момент сил, які діють на диполь у зовнішньому полі

$$\vec{M} = \vec{p} \times \vec{E}$$

41. потенціальна енергія диполя у зовнішньому полі

$$W = -\vec{p} \vec{E}$$

42. сила, що діє на диполь в неоднорідному полі

$$\vec{F} = p \frac{\partial \vec{E}}{\partial \ell}$$

43. закон Ома для ділянки кола

$$I = \frac{U}{R}$$

44. визначення електрорушійної сили

$$\mathcal{E} = \oint_{\ell} \vec{E}_{\text{стоп}} d\vec{\ell}$$

45. закон Ома для замкнутого кола

$$I = \frac{\sum \mathcal{E}_i}{R + r}$$

46. правила Кірхгофа для розгалужених кіл

- $\sum_{i=1}^N I_i = 0$

- $\sum_i \mathcal{E}_i = \sum_i I_i R_i$

47. закон Ома в диференційній формі $\vec{j} = \sigma \vec{E}; \sigma = \frac{1}{\rho}$

48. густина струму

$$\vec{j} = en \vec{V}$$

49. опір при з'єднанні N резисторів

- послідовному $R_{\text{носл}} = \sum_{i=1}^N R_i$

- паралельному $\frac{1}{R_{\text{нар}}} = \sum_{i=1}^N \frac{1}{R_i}$

50. опір провідника

$$R = \rho \frac{l_{\parallel}}{S_{\perp}}$$

51. теплова потужність струму - закон Джоуля

$$P = \frac{dQ}{dt} = I^2 R; p = \frac{dP}{dV} = j^2 \rho$$

52. потужність електричного струму

$$P = \frac{dA}{dt} = UI; p = \frac{dP}{dV} = \vec{j} \vec{E}$$

53. визначення коефіцієнта самоіндукції (потокозчеплення)

$$\Psi = LI$$

54. визначення коефіцієнта взаєміндукції

$$\Psi_2 = L_{12} I_1$$

55. енергія магнітного поля провідника зі струмом

$$W = \frac{LI^2}{2}$$

56. взаємна енергія двох струмів

$$W = L_{12} I_1 I_2$$

57. е.р.с. самоіндукції

$$\mathcal{E}_{si} = -L \frac{dI}{dt}$$

58. робота по переміщенню провідника зі струмом у зовнішньому полі

$$A = I\Delta\Phi; (I = const)$$

59. закон Ома для змінного (квазістаціонарного) струму

$$I = \frac{U}{Z}; I_m = \frac{U_m}{|Z|}$$

60. імпеданс (повний опір) $Z = R + i(\omega L - \frac{1}{\omega C})$

$$|Z| = \sqrt{R^2 + (\omega L - \frac{1}{\omega C})^2}$$

61. потужність, що виділяється в колі змінного струму

$$P = U_o I_o \cos\varphi; \operatorname{tg}\varphi = \frac{\omega L - 1/\omega C}{R}$$

62. енергія електромагнітного поля $W = \int_V w dV;$

63. об'ємна густина енергії електромагнітного поля

$$w = w_E + w_B = \frac{1}{2} \vec{E}\vec{D} + \frac{1}{2} \vec{B}\vec{H};$$

64. вектор Пойнтінга – поверхнева густина потоку енергії електромагнітного поля

$$\vec{S} = \vec{E} \times \vec{H}$$

65. фазова швидкість електромагнітної хвилі

$$V = \frac{c}{n}; n = \sqrt{\epsilon\mu}; c = \frac{1}{\sqrt{\epsilon_0\mu_0}}$$

66. зв'язок між електричним і магнітним полем $\sqrt{\epsilon\epsilon_0} E = \sqrt{\mu\mu_0} H$

67. закон збереження енергії електромагнітного поля

$$\frac{dW}{dt} = - \int_V j^2 \rho dV - \oint_S \vec{E} \times \vec{H} d\vec{S}$$

68. частота власних коливань контуру $\omega_0 = \frac{1}{\sqrt{LC}}$

69. частота згасаючих коливань контуру $\omega = \sqrt{\omega_0^2 - \beta^2}$

70. декремент (коефіцієнт) згасання $\beta = \frac{R}{2L}$

71. діючі значення напруги і сили струму (при гармонічному струмі)

$$U = \frac{U_m}{\sqrt{2}}; I = \frac{I_m}{\sqrt{2}}$$

Деякі математичні вирази, які необхідно знати.

72. $dS_{c\phi} = r^2 \sin\theta \cdot d\theta \cdot d\phi$

73. $dV_{c\phi} = r^2 \sin\theta \cdot dr \cdot d\theta \cdot d\phi$

74. $dV_{цил} = r \cdot dr \cdot d\phi \cdot dz$

75. формули приблизного обчислення при $x \ll 1$:

• $\operatorname{Sin}x \approx x - \frac{x^3}{6}$

- $\cos x \approx 1 - \frac{x^2}{2}$

- $e^x \approx 1 + x$

- $\ln(1+x) \approx x$

- $(1 \pm x)^n \approx 1 \pm nx$

76. розкладання функції в степеневий ряд в точці $x=a$ (Тейлора)

$$f(x) = \sum_{i=0}^n C_n \cdot (x-a)^n, C_n = \frac{f^{(n)}(a)}{n!}$$

77. градієнт у різних системах координат:

- декартова: $\text{grad}\varphi = \vec{\nabla}\varphi = \frac{\partial\varphi}{\partial x}\vec{e}_x + \frac{\partial\varphi}{\partial y}\vec{e}_y + \frac{\partial\varphi}{\partial z}\vec{e}_z$

- циліндрична: $\text{grad}\varphi = \vec{\nabla}\varphi = \frac{\partial\varphi}{\partial r}\vec{e}_r + \frac{1}{r}\frac{\partial\varphi}{\partial\phi}\vec{e}_\phi + \frac{\partial\varphi}{\partial z}\vec{e}_z$

- сферична: $\text{grad}\varphi = \vec{\nabla}\varphi = \frac{\partial\varphi}{\partial r}\vec{e}_r + \frac{1}{r}\frac{\partial\varphi}{\partial\theta}\vec{e}_\theta + \frac{1}{r \cdot \sin\theta}\frac{\partial\varphi}{\partial\phi}\vec{e}_\phi$

78. дивергенція векторного поля \vec{A} у різних системах координат:

- декартова: $\text{div}\vec{A} = \vec{\nabla} \cdot \vec{A} = \frac{\partial A_x}{\partial x} + \frac{\partial A_y}{\partial y} + \frac{\partial A_z}{\partial z}$

- циліндрична: $\text{div}\vec{A} = \vec{\nabla} \cdot \vec{A} = \frac{1}{r}\frac{\partial}{\partial r}(rA_r) + \frac{1}{r}\frac{\partial A_\phi}{\partial\phi} + \frac{\partial A_z}{\partial z}$

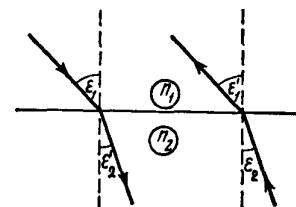
- сферична: $\text{div}\vec{A} = \vec{\nabla} \cdot \vec{A} = \frac{1}{r^2}\frac{\partial}{\partial r}[A_r r^2] + \frac{1}{r \cdot \sin\theta}\frac{\partial}{\partial\theta}[A_\theta \sin\theta] + \frac{1}{r \cdot \sin\theta}\frac{\partial A_\phi}{\partial\phi}$

ГЕОМЕТРИЧЕСКАЯ ОПТИКА

- Закон преломления света

$$\frac{\sin \varepsilon_1}{\sin \varepsilon_2} = n_{21},$$

где ε_1 — угол падения; ε_2 — угол преломления; $n_{21} = n_2/n_1$ — относительный показатель преломления второй среды относительно первой; n_1 и n_2 — абсолютные показатели преломления соответственно первой и второй сред.



Нижние индексы в обозначениях углов указывают, в какой среде (первой или второй) идет луч. Если луч переходит из второй среды в первую, падая на поверхность раздела под углом $\varepsilon_2 = \varepsilon_2'$, то по принципу обратимости световых лучей угол преломления ε_1' будет равен углу ε_1 (рис. 28.1).

- Предельный угол полного отражения при переходе света из среды более оптически плотной в среду менее оптически плотную

$$\varepsilon_{np} = \arcsin(n_2/n_1) \quad (n_2 < n_1)$$

- Оптическая сила двух тонких сложенных вплотную линз

$$\Phi = \Phi_1 + \Phi_2.$$

- Формула тонкой линзы

$$\frac{1}{f} = \frac{1}{a} + \frac{1}{b},$$

где a — расстояние от оптического центра линзы до предмета; b — расстояние от оптического центра линзы до изображения.

Если фокус мнимый (линза рассеивающая), то величина f отрицательна.

Если изображение мнимое, то величина b отрицательна.

ИНТЕРФЕРЕНЦИЯ СВЕТА

- Скорость света в среде

$$v = c/n,$$

где c — скорость света в вакууме; n — абсолютный показатель преломления среды.

- Оптическая длина пути световой волны

$$L = nl,$$

где l — геометрическая длина пути световой волны в среде с показателем преломления n .

3. Оптическая разность хода двух световых волн

$$\Delta = L_1 - L_2.$$

- Оптическая разность хода световых волн, отраженных от верхней и нижней поверхностей тонкой плоскопараллельной пластинки или пленки, находящейся в воздухе (рис. 30.1, а),

$$\Delta = 2d\sqrt{n^2 - \sin^2 \varepsilon_1} + \lambda/2, \text{ или}$$

$$\Delta = 2dn \cos \varepsilon_2' + \lambda/2, \text{ где}$$

d — толщина пластинки (пленки); ε_1 — угол падения; ε_2' — угол преломления.

Второе слагаемое в этих формулах учитывает изменение оптической длины пути световой волны на $\lambda/2$ при отражении ее от среды оптически более плотной.

В проходящем свете (рис. 30.1) отражение световой волны происходит от среды оптически менее плотной и дополнительной разности хода световых лучей не возникает.

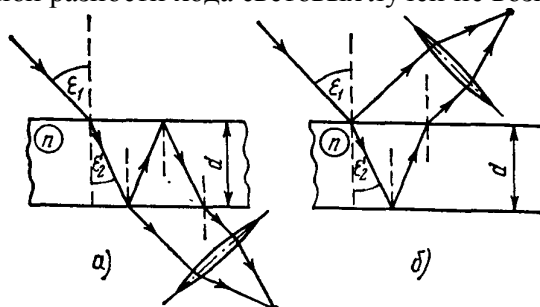


Рис. 30.1

- Связь разности фаз $\Delta\varphi$ колебаний с оптической разностью хода волн

$$\Delta\varphi = 2\pi\Delta/\lambda..$$

- Условие максимумов интенсивности света при интерференции

$$\Delta = \pm k\lambda \quad (k=0,1,2,3, \dots).$$

- Условие минимумов интенсивности света при интерференции

$$\Delta = \pm(2k+1) (\lambda/2).$$

- Радиусы светлых колец Ньютона в отраженном свете (или темных в проходящем)

$$r_k = \sqrt{(2k-1)R(\lambda/2)}.$$

где k — номер кольца ($k=1, 2, 3, \dots$); R — радиус кривизны поверхности линзы, соприкасающейся с плоскопараллельной стеклянной пластинкой.

- Радиусы темных колец в отраженном свете (или светлых в проходящем)

$$r_k = \sqrt{kR\lambda}.$$

ДИФРАКЦИЯ СВЕТА

- Дифракция света на одной щели при нормальном падении лучей. Условие минимумов интенсивности света

$$a \sin \varphi = \pm 2k \frac{\lambda}{2} = \pm k\lambda, \quad k=1,2,3, \dots,$$

где a — ширина щели; φ — угол дифракции; k — номер минимума;
 λ — длина волны.

- Условие максимумов интенсивности света

$$a \sin \varphi' = (2k+1) \frac{\lambda}{2}, \quad k=1, 2, 3, \dots,$$

где φ' — приближенное значение угла дифракции.

- Дифракция света на дифракционной решетке при нормальном падении лучей. Условие главных максимумов интенсивности

$$d \sin \varphi = \pm k\lambda, \quad k=0,1,2,3, \dots,$$

где d — период (постоянная) решетки; k — номер главного максимума; φ — угол между нормалью к поверхности решетки и направлением дифрагированных волн.

- Разрешающая сила дифракционной решетки

$$R = \frac{\lambda}{\Delta\lambda} = kN,$$

где $\Delta\lambda$ — наименьшая разность длин волн двух соседних спектральных линий (λ и $\lambda+\Delta\lambda$), при которой эти линии могут быть видны отдельно в спектре, полученном посредством данной решетки; N — число штрихов решетки; k — порядковый номер дифракционного максимума.

- Угловая дисперсия дифракционной решетки

$$D_\varphi = \frac{\delta\varphi}{\delta\lambda} = \frac{k}{d \cos \varphi},$$

линейная дисперсия дифракционной решетки

$$D_l = \frac{\delta l}{\delta\lambda}.$$

Для малых углов дифракции

$$D_l \approx f D_\varphi \approx f \frac{k}{d},$$

где f — главное фокусное расстояние линзы, собирающей на экране дифрагирующие волны.

- формула Вульфа — Брэгга

$$2d \sin \vartheta = k\lambda,$$

где d — расстояние между атомными плоскостями кристалла; ϑ — угол скольжения (угол между направлением пучка параллельных лучей, падающих на кристалл, и гранью кристалла), определяющий направление, в котором имеет место зеркальное отражение лучей (дифракционный максимум).

ПОЛЯРИЗАЦИЯ СВЕТА

- Закон Брюстера

$$\operatorname{tg} \varepsilon_B = n_{21},$$

где ϵ_B — угол падения, при котором отраженная световая волна полностью поляризована; n_{21} — относительный показатель преломления.

- Закон Малюса

$$I = I_0 \cos^2 \alpha,$$

где I — интенсивность плоскополяризованного света, прошедшего через анализатор; I_0 — интенсивность плоскополяризованного света, падающего на анализатор; α — угол между направлением колебаний светового вектора волны, падающей на анализатор, и плоскостью пропускания анализатора.

- Степень поляризации света

$$P = \frac{I_{\max} - I_{\min}}{I_{\max} + I_{\min}},$$

где I_{\max} и I_{\min} — максимальная и минимальная интенсивности частично поляризованного света, пропускаемого анализатором.

- Угол поворота φ плоскости поляризации оптически активными веществами определяется соотношениями:

- а) в твердых телах

$$\varphi = \alpha d,$$

где α — постоянная вращения; d — длина пути, пройденного светом в оптически активном веществе;

- б) в чистых жидкостях

$$\varphi = [\alpha] \rho d,$$

где $[\alpha]$ — удельное вращение; ρ — плотность жидкости;

- в) в растворах

$$\varphi = [\alpha] C d,$$

где C — массовая концентрация оптически активного вещества в растворе.

АТОМ ВОДОРОДА ПО ТЕОРИИ БОРА.

• Момент импульса электрона на стационарных орбитах $L = mvr = n\hbar$ ($n=1,2,3,\dots$), где m — масса электрона; r — радиус орбиты; v — скорость

$$E_n = -\frac{me^4}{32\pi^2\epsilon_0^2\hbar^2 n^2}$$

электрона на орбите; n — главное квантовое число; \hbar — постоянная Планка.

• Серийная формула, определяющая длину волны λ или частоту ν света, излучаемого или поглощаемого атомом водорода при переходе из одного стационарного состояния в другое,

$$\frac{1}{\lambda} = R' \left(\frac{1}{n_1^2} - \frac{1}{n_2^2} \right) \quad \nu = R \left(\frac{1}{n_1^2} - \frac{1}{n_2^2} \right)$$

где R' и R — постоянная Ридберга; n_1 и n_2 — целые числа; n_1 — номер серии спектральных линий ($n_1=1$ — серия Лаймана, $n_2=2$ — серия Бальмера, $n_1=3$ — серия Пашена и т.д.).

• Энергия фотона, испускаемого водородоподобным атомом при переходе из одного стационарного состояния в другое,

$$E_{ij} = \hbar R Z^2 \left(\frac{1}{n_i^2} - \frac{1}{n_j^2} \right)$$

где $\hbar R = 13,6 \text{ эВ}$.

РАДИОАКТИВНОСТЬ.

Основной закон радиоактивного распада

$$N = N_0 e^{-\lambda t}$$

где N — число не распавшихся атомов в момент времени t ; N_0 — число не распавшихся атомов в момент, принятый за начальный (при $t=0$); λ — постоянная радиоактивного распада.

Период полураспада $T_{1/2}$ — промежуток времени, за который число не распавшихся атомов уменьшается в два раза. Период полураспада связан с постоянной распада соотношением

$$T_{1/2} = \ln 2 / \lambda = 0,693 / \lambda .$$

Число атомов, распавшихся за время t ,

$$\Delta N = N_0 - N = N_0 (1 - e^{-\lambda t}).$$

Среднее время жизни τ радиоактивного ядра — промежуток времени, за который число нераспавшихся ядер уменьшается в e раз:

$$\tau = 1/\lambda$$

Число атомов, содержащихся в радиоактивном изотопе,

$$N = (m/M) \cdot N_A$$

где m — масса изотопа; M — его молярная масса; N_A — постоянная Авогадро.

Активность A нуклида в радиоактивном источнике (активность изотопа) есть величина, равная отношению числа dN ядер, распавшихся в изотопе, к промежутку времени dt , за которое произошел распад. Активность определяется по формуле

$$A = -dN/dt = \lambda N,$$

или после замены N по основному закону радиоактивного распада

$$A = \lambda N_0 e^{-\lambda t}$$

Активность изотопа в начальный момент времени ($t=0$)

$$A_0 = \lambda N_0 .$$

Активность изотопа изменяется со временем по тому же закону, что и число нераспавшихся ядер:

$$A = A_0 e^{-\lambda t}$$

ДЕФЕКТ МАССЫ И ЭНЕРГИЯ СВЯЗИ АТОМНЫХ ЯДЕР

Согласно релятивистской механике, масса покоя m устойчивой системы взаимосвязанных частиц меньше суммы масс покоя $m_1 + m_2 + \dots + m_k$ тех же частиц, взятых в свободном состоянии.

Разность

$$\Delta m = (m_1 + m_2 + \dots + m_k) - m$$

называется дефектом массы системы частиц.

- Энергия связи прямо пропорциональна дефекту массы системы частиц:

$$E_{св} = c^2 \Delta m,$$

где c — скорость света в вакууме

Если энергия выражена в мегаэлектрон-вольтах, а масса в атомных единицах, то

$$c^2 = 931,5 \text{ МэВ/а. е. м.}$$

• Дефект массы Δm атомного ядра есть разность между суммой масс свободных протонов и нейтронов и массой образовавшегося из них ядра:

$$\Delta m = (Zm_p + Nm_n) - m_{я},$$

где Z — зарядовое число (число протонов в ядре); m_p и m_n — массы протона и нейтрона соответственно; $m_{я}$ — масса ядра.

Если учесть, что

$$m_{я} = m_a - Z m_e; \quad m_p + m_e = m_{1H}; \quad N = (A - Z),$$

то формулу дефекта массы ядра можно представить в виде

$$\Delta m = Zm_{1H} + (A - Z)m_n - m_a,$$

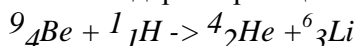
где A — массовое число (число нуклонов в ядре).

- Удельная энергия связи (энергия связи на нуклон)

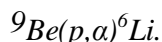
$$E_{уд} = E_{св} / A.$$

ЯДЕРНЫЕ РЕАКЦИИ.

- Символическая запись ядерной реакции может быть дана или в развернутом виде, например



или сокращенно



При сокращенной записи порядковый номер атома не пишут, так как он определяется химическим символом атома. В скобках на первом месте ставят обозначение бомбардирующей частицы, на втором — частицы, вылетающей из составного ядра, и за скобками — химический символ ядра-продукта.

Для обозначения частиц приняты следующие символы: p — протон, n — нейтрон, d — дейтерий, t — тритий, α — альфа-частица, γ — гамма-фотон.

- Законы сохранения:

а) числа нуклонов $A_1 + A_2 = A_3 + A_4;$

б) заряда $Z_1 + Z_2 = Z_3 + Z_4$

в) релятивистской полной энергии $E_1 + E_2 = E_3 + E_4$

г) импульса $p_1 + p_2 = p_3 + p_4.$

Если общее число ядер и частиц, образовавшихся в результате реакции, больше двух, то запись соответственно дополняется.

- Энергия ядерной реакции

$$Q = c^2[(m_1 + m_2) - (m_3 + m_4)],$$

где m_1 и m_2 — массы покоя ядра-мишени и бомбардирующей частицы; $m_3 + m_4$ — сумма масс покоя ядер продуктов реакции.

Если $m_1 + m_2 > m_3 + m_4$, то энергия освобождается, энергетический эффект положителен, реакция экзотермическая.

Если $m_1 + m_2 < m_3 + m_4$ то энергия поглощается, энергетический эффект отрицателен, реакция эндотермическая.

Энергия ядерной реакции может быть записана также в виде

$$Q = (T_1 + T_2) - (T_3 + T_4),$$

где T_1 и T_2 — кинетические энергии соответственно ядра-мишени и бомбардирующей частицы; T_3 и T_4 — кинетические энергии вылетающей частицы и ядра — продукта реакции.

При экзотермической реакции $T_3 + T_4 > T_1 + T_2$ при эндотермической реакции $T_3 + T_4 < T_1 + T_2$.